

# مدل‌سازی و تفسیر داده‌های مغناطیسی زمینی مرتبط با منابع انرژی زمین‌گرمایی، شمال‌غرب دليجان

محمد محمدزاده مقدم<sup>۱\*</sup>، سعید ميرزايی<sup>۲</sup>، محمود ميرزايی<sup>۳</sup>، بهروز اسكوبی<sup>۴</sup> و نسيم حيدربان دهکردی<sup>۵</sup>

۱. دانشجوی دکتری ژئوفیزیک، پژوهشکده علوم پایه کاربردی جهاددانشگاهی.

۲. دانشیار پژوهشکده علوم پایه کاربردی جهاددانشگاهی

۳. دانشیار، گروه فیزیک، دانشکده علوم، دانشگاه اراک

۴. استادیار موسسه ژئوفیزیک دانشگاه تهران

۵. مری پژوهشی، پژوهشکده علوم پایه کاربردی جهاددانشگاهی

تاریخ دریافت: ۹۳/۱۰/۱۶

تاریخ پذیرش: ۹۴/۲/۱۹

## چکیده

وجود چشمه‌های آبگرم متعدد و همچنین نوع زمین‌شناسی منطقه شمال‌غرب دليجان نشان‌دهنده حضور یک سامانه زمین‌گرمایی بزرگ در اعمق منطقه است. بهمنظور شناسایی دقیق این نواحی و مشخص نمودن ساختارهای زمین‌گرمایی مولدی هنجاری‌های مغناطیسی، عملیات مغناطیسی‌سنجدی زمینی در محدوده اطراف چشمه‌های آبگرم دليجان در منطقه‌ای به وسعت حدود ۳۰۰ کیلومترمربع در سال ۱۳۹۰ انجام شد. تصحیحات و پردازش‌های لازم بر روی داده‌ها صورت گرفت تا با استفاده از نقشه‌های بی‌هنجاری‌های مغناطیسی به دست آمده، به توان به ویژگی‌های ساختاری سیستم زمین‌گرمایی منطقه و همچنین عمق منبع زمین‌گرمایی پی برد. پس از شناسایی بی‌هنجاری‌های اصلی منطقه، با استفاده از روش اویلر، عمق و شاخص ساختاری آن برآورد شد. براین اساس منشاء بی‌هنجاری مغناطیسی اصلی در منطقه، یک توده مغناطیسی بزرگ شبه‌مخروطی در عمق بیشتر از ۲۰۰۰ متر فرض شد. سپس با استفاده از نتایج بدست آمده از روش اویلر، مدل‌سازی پیشرو و وارون‌سازی سه‌بعدی داده‌ها به ترتیب با استفاده از نرم‌افزار ModelVision<sup>۱</sup> و کد رایانه‌ای Mag3D<sup>۲</sup> بر روی داده‌های انجام شد. کد Mag3D<sup>۳</sup> براساس الگوریتم غیر خطی لی-اولدنبرگ عمل می‌کند بهطوری که بهترین جواب ممکن برای توده‌های مغناطیسی، با روش تکرار حاصل می‌شود. نتایج این مدل‌سازی و وارون‌سازی نشان می‌دهد که در این منطقه یک بی‌هنجاری مغناطیسی بزرگ در عمق ۲۵۰۰ تا ۵۰۰۰ متری از سطح زمین وجود دارد که به عنوان منبع سامانه زمین‌گرمایی منطقه تفسیر می‌شود. نتایج بدست آمده از این پژوهش انطباق مناسبی با اطلاعات زمین‌شناسی منطقه مورد بررسی دارد.

**واژه‌های کلیدی:** مغناطیسی‌سنجدی، روش اویلر، مدل‌سازی، وارون‌سازی، زمین‌گرمایی، دليجان.

\* نویسنده مرتبط mmz140@yahoo.com

## مقدمه

بررسی) می‌باشد؛ اما از آنجاکه بررسی و تفسیر آنها دو بعدی بود، نتایج به دست آمده قادر به توصیف مناسبی در مورد نحوه گسترش جانی سامانه زمین‌گرمایی محلات نبود.

در این بررسی بیش از ۵۰۰۰ ایستگاه مغناطیس در محدوده‌های به وسعت حدود ۳۰۰ کیلومترمربع در منطقه زمین‌گرمایی شمال غرب دلیجان در سال ۱۳۹۰ توسط موسسه رئوفیزیک دانشگاه تهران و دانشگاه اراک برداشت شد. پس از برداشت داده‌ها، پردازش آنها شامل تصحیح تغییرات روزانه و IGRF بر روی داده‌ها اعمال و تفسیر داده‌ها با استفاده از روش تخمین عمق اویلر، مدل‌سازی پیشرو توسط نرم‌افزار ModelVision Li و برگردان سه‌بعدی داده‌ها با کد نوشته شده توسط and Oldenburg, (1996) در قالب برنامه رایانه‌ای Mag3D انجام شد و نتایج آن مورد بررسی قرار گرفت.

### زمین‌شناسی منطقه مورد بررسی

در تقسیم‌بندی زمین‌ساختی ایران، منطقه محلات در زون آتش‌شانی ایران مرکزی واقع گردیده است. این زون یکی از زون‌های فعال در طی دوران‌های مختلف زمین‌شناسی است که به شکل مثلث در مرکز ایران قرار گرفته است. مرز غربی زون مذکور به زون دگرگونی سنجنگ- سیرجان محدود می‌گردد و مرز آن در استان مرکزی توسط گسل‌های تلخاب و تبرته مشخص می‌گردد. زون ایران مرکزی از سمت شمال به زون البرز و از سمت جنوب به زون مکران محدود می‌گردد. حد شرقی زون ایران مرکزی چندان مشخص نیست. زیرا برخی از زمین‌شناسان بلوك لوت را جزو ایران مرکزی در نظر گرفته و بعضی دیگر بلوك لوت را قطعه محزاپی از آن می‌دانند. چشممه‌های آبگرم دلیجان در فاصله ۱۰ کیلومتری شمال‌غربی شهر دلیجان در میان ارتفاعات بلند منطقه قرار گرفته‌اند و از جمله مهمترین منابع

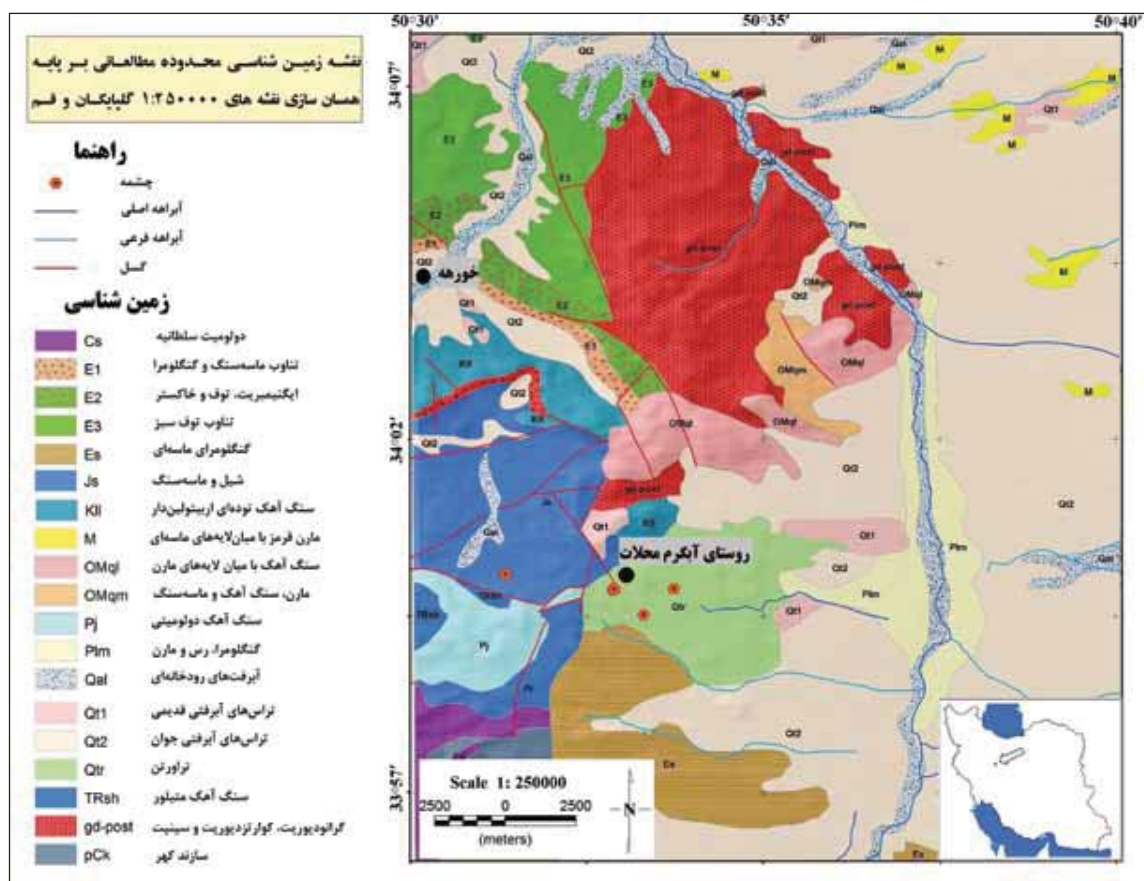
براساس مطالعات سراسری پتانسیل سنجی منابع انرژی زمین‌گرمایی انجام شده توسط سازمان انرژی‌های نو ایران (سانا) از سال ۱۳۷۷ تاکنون، چندین منطقه زمین‌گرمایی مهم در ایران معرفی شده است. منطقه زمین‌گرمایی شمال غرب دلیجان به علت وجود چشممه‌های آبگرم متعدد، تکتونیک فعال، نواحی دگرسان شده و رخنمون وسیع تراورتن به عنوان یکی از مهمترین مناطق زمین‌گرمایی در ایران به‌شمار می‌رود (میرزایی و همکاران، ۱۳۹۲). در سال‌های اخیر فعالیت‌های اکتشافی زیادی توسط سانا و دیگر گروه‌های تحقیقاتی در این منطقه صورت گرفته است. Porkhial et al. (2013) زمین‌شناسی و ژئوشیمی منطقه را به‌طور کامل بررسی کرده و نشان دادند که فعالیت‌های هیدرولرمال در منطقه دلیجان عمدتاً توسط گسل‌های فعال شمالی- جنوبی کنترل می‌شود. مطالعات ژئوشیمیایی، ژئوتومومتری و مغناطیس سنجی انجام شده نشان می‌دهد که منشاء گرمای سامانه زمین‌گرمایی دلیجان ناشی از یک توده نفوذی در حال سردشدن است؛ که در اعماق منطقه نفوذ کرده و دمای آن از دمای کوری پایین‌تر آمده و سبب ایجاد یک بی‌هنجاری مغناطیسی برجسته در نقشه میدان مغناطیسی منطقه شده است (رضابی و همکاران، ۱۳۸۸؛ نورعلیئی و زارعی، ۱۳۸۹؛ نورعلیئی و ابراهیمی، ۱۳۹۱؛ میرزایی و همکاران، ۱۳۹۲)؛ اما آنها به ارائه توضیح مناسبی از موقعیت، شکل و عمق این توده مغناطیسی نپرداختند. Oskooi and Darijani و Oskooi et al. (2013) (2013) با استفاده از دو نیم‌رخ ۷ کیلومتری متقاطع شامل ۲۴ ایستگاه مگنتوتولویک نشان دادند که ساختار سامانه زمین‌گرمایی دلیجان شامل سنگ‌پوش (از عمق ۱۰۰ تا ۶۰۰ متر)، مخزن (از عمق ۵۰۰ تا ۲۰۰۰ متر) و منبع (از عمق ۱۰۰۰ متر تا بیشترین عمق قابل

تنگاتنگی با فعالیت سیالات هیدرولرمال دارد. به عبارتی این نوع دگرسانی عمدتاً در دمای بالا اتفاق می‌افتد (میرزایی و همکاران، ۱۳۹۲؛ Oskooi et al., 2013).

رضایی و همکاران (۱۳۸۸) مدل فرضی و مفهومی تشکیل چشمه‌های آبگرم منطقه را به این ترتیب ارائه نمودند: ریزش‌های جوی در امتداد گسل‌ها و شکستگی‌های متقطع (غالباً) و سنگ‌های نفوذپذیر منطقه به اعماق زمین نفوذ می‌کنند. اضافه شدن بخارات و مواد فرار پرفشار، از توده ماسگما یا سنگ‌های داغ، از جمله  $H_2O$ ,  $CO_2$ ,  $H_2S$ , قابلیت انحلال آنها را در واکنش با سنگ‌های دربرگیرنده از جمله کربنات‌ها افزایش می‌دهد. گرمشدن آب‌ها در اعماق در مجاورت ماسگما در حال سرد شدن و یا سنگ‌های بسیار داغ و نیز به دام انداختن گازها و مواد فرار، موجب کاهش چگالی آنها شده و بنابراین آب‌های گرم به‌دلیل خاصیت شناوری در امتداد گسل‌ها به‌سمت بالا حرکت می‌کنند. زمانیکه آب صعود می‌کند و در طول مسیر حرکت در سنگ‌های کربناته درجه حرارت خود را از دست می‌دهد، گازها و مواد فرار بیشتری در آب حل شده و به این ترتیب ظرفیت انحلالی آب‌های گرم با ایجاد کارست عمقی بالا می‌رود. البته پدیده اختلاط آب‌های گرم با آب‌های سرد کم‌عمق نیز می‌تواند در فرایند انحلال سنگ‌های کربناته مؤثر باشد. صعود آب‌ها به بخش‌های فوقانی و کاهش فشار هیدرواستاتیک باعث خروج گازها از جمله  $CO_2$  و فوق اشباع شدن آب‌ها از کلسیت و در نتیجه رسوبگذاری و تشکیل تراورتن می‌شود.

آب معدنی استان مرکزی محسوب می‌شوند. منطقه آبگرم دلیجان بخش کوچکی از پهنه ایران مرکزی است؛ که بر روی کمرنگ آتش‌فشانی ارومیه - دختر قرار دارد. شکل ۱ وضعیت زمین‌شناسی منطقه مورد مطالعه و پراکندگی چشمه‌های آبگرم منطقه را نشان می‌دهد.

سازندهای رخنمون یافته در منطقه مورد مطالعه عبارتند از: سازند شمشک با لیتولوژی شیل و ماسه‌سنگ، واحد آهک اوربیتولیندار کرتاسه، واحد آهک مارنی سازند قم و در مجاورت این سنگ‌های رسوبی، سنگ‌های آذرین شامل گرانودیوریت، توف و گدازه. چشمه‌های آبگرم محلات که موقعیت آنها در نقشه زمین‌شناسی (شکل ۱) با مثلث‌های توپر قرمز رنگ مشخص شده است، از رسوبات تراورتن و آبرفت خارج می‌گردند. رسوبات تراورتن که به مرور زمان در اثر تهنشیست رسوبات چشمه‌ها به وجود آمده‌اند، اغلب در مجاورت گسل‌های ناحیه تشکیل شده‌اند و ضخامت قابل توجهی دارند. در گزارش نقشه زمین‌شناسی ۱:۲۵۰۰۰ گلپایگان، ضخامت آنها حتی تا ۵۰۰ متر نیز ذکر شده است. گسل‌ها و شکستگی‌های فراوانی که در این منطقه به‌چشم می‌خورد، در چرخش آب از سطح به عمق و بالعکس نقش مهمی دارند. نکته حائز اهمیت دیگر، دگرسانی‌های فراوان منطقه است. اغلب دگرسانی‌های منطقه از نوع آرژیلیکی- سیریسیتی است؛ ولی دگرسانی از نوع کائولینیتی- آلونیتی نیز در منطقه زیاد مشاهده می‌شود (نورعلیئی، ۱۳۹۱). این نوع از دگرسانی‌ها، بهخصوص نوع اول آن ارتباط



شکل ۱. نقشه زمین‌شناسی منطقه مورد بررسی (برگرفته از نقشه ۱:۲۵۰۰۰۰ قم و ۱:۲۵۰۰۰۰ گلپایگان)

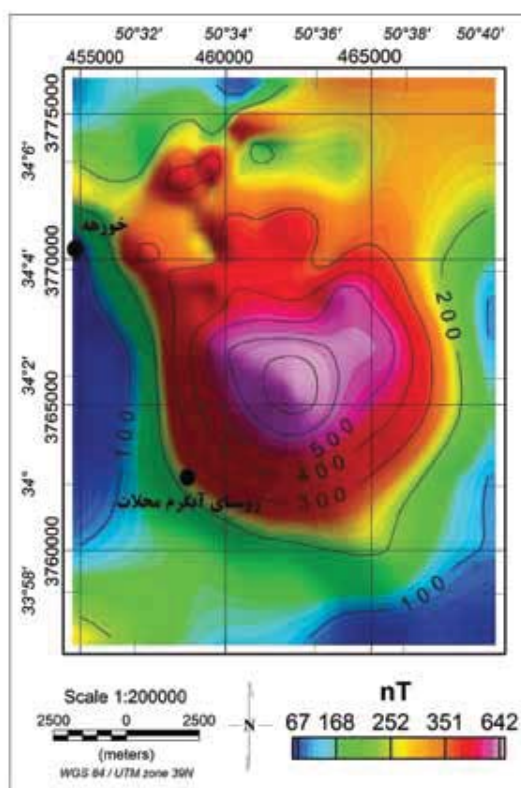
نیز که جزء مهمترین تصحیحات در پردازش داده‌ها است و اثر میدان مغناطیسی منطقه‌ای زمین را حذف می‌کند، بر روی داده‌ها انجام شد.

برای دستیابی به شکل و محل واقعی بی‌هنجری مغناطیسی از تصحیح انتقال به قطب يا RTP استفاده شد. روش انتقال به قطب در ابتدا توسط Baranov, Baranov and Naudy, (1964) و Bhattacharyya, (1965) معرفی شد. در این روش با استفاده از روابط ریاضی، زاویه میل و انحراف میدان مغناطیسی منطقه مورد نظر به زاویه میل و انحراف میدان مغناطیسی در قطب شمال مغناطیسی (به ترتیب مقدار صفر و ۹۰ درجه) انتقال داده می‌شود. انجام این تصحیح بر روی داده‌ها سبب می‌شود تا اثر زاویه میل و

## برداشت داده‌های مغناطیسی در منطقه مورد مطالعه

عملیات مغناطیسی‌سنجی زمینی در منطقه مورد بررسی در نواحی اطراف چشمه‌های آبگرم در امتداد ۱۲ پروفیل شمالی-جنوبی با طول تقریبی ۲۲ کیلومتر با فاصله ایستگاهی ۵۰ متر انجام شده است. این پروژه در نیمه اول سال ۱۳۹۰ توسط موسسه ژئوفیزیک دانشگاه تهران و دانشگاه اراک انجام شد. در این مطالعه در مجموع بیش از ۵۰۰۰ ایستگاه مغناطیسی‌سنجی برداشت شد. مساحت کل ناحیه مورد مطالعه حدود ۳۰۰ کیلومتر مربع است. پس از اتمام عملیات برداشت داده، تصحیح روزانه که مهمترین تصحیح روی داده‌ها قبل از پردازش است، صورت گرفت. تصحیح IGRF

محمد محمدزاده مقدم و همکاران



شکل ۲. نقشه شدت میدان مغناطیسی باقیمانده در منطقه زمین‌گرمایی شمال غرب دلیجان پس از اعمال روش RTP

### روش واهمامیخت اویلر

روش واهمامیخت اویلر از گرادیانهای قائم میدان مغناطیسی به منظور برآورد مکان افقی و عمق منشاء‌های مغناطیسی استفاده می‌کند. معادله اویلر در حالت سه‌بعدی به صورت رابطه ۱ تعریف می‌شود (Reid et al., 1990)

$$\mathbf{x} - \mathbf{x}_0 + \frac{\partial \mathbf{T}}{\partial \mathbf{x}} + \mathbf{y} - \mathbf{y}_0 + \frac{\partial \mathbf{T}}{\partial \mathbf{y}} + \mathbf{z} - \mathbf{z}_0 + \frac{\partial \mathbf{T}}{\partial \mathbf{z}} = \mathbf{N}(\mathbf{B} - \mathbf{T}) \quad \text{رابطه (1)}$$

که در آن  $(x_0, y_0, z_0)$  مختصات منشاء مغناطیسی  $\mathbf{T}$ ،  $\mathbf{B}$  مشتقات میدان مغناطیسی در سه جهت  $\mathbf{x}, \mathbf{y}, \mathbf{z}$ ،  $\mathbf{N}$  اندیس ساختاری و مربوط می‌شود به نرخ تغییرات میدان با فاصله از منشاء و  $\mathbf{x}$  میدان مغناطیسی منطقه‌ای درون پنجره اویلر می‌باشند. معادله اویلر با استفاده از یک

انحراف میدان مغناطیسی از شکل بی‌هنجری مشاهده شده حذف و تفسیر بی‌هنجری‌های آن آسانتر گردد. در محدوده مورد مطالعه با استفاده از نرم افزار Geosoft Oasis Montaj 6.4.2 و با در نظر گرفتن زاویه میل و انحراف میانگین  $51/2$  و  $4/1$  درجه، تصحیح RTP بر روی داده‌های شبکه‌بندی شده انجام شد.

شکل ۲ نقشه بی‌هنجری میدان باقیمانده پس از انجام مراحل پردازشی فوق را به صورت سایه‌دار نشان می‌دهد. بر این اساس، یک بی‌هنجری مغناطیسی مثبت بزرگ در مرکز محدوده مورد مطالعه وجود دارد. با توجه به ستون رنگی راهنمای نقشه، شدت این بی‌هنجری مغناطیسی در مرکز آن نسبت به زمینه، بیشتر از ۸۰۰ نانوتسلای می‌باشد. با توجه به دامنه خودپذیری مغناطیسی مواد و کانی‌ها مختلف (Telford et al., 1990)، سنگ‌های آذرین فلزیک رخنمون یافته در قسمت‌های شمالی منطقه (گرانیت و گرانوویوریت در نقشه زمین‌شناسی شکل ۱) نمی‌توانند این چنین میدان مغناطیسی قوی ایجاد کنند؛ بنابراین این دامنه تغییرات شدید میدان مغناطیسی در ارتباط با یک توده سنگ‌های آذرین مافیک در اعماق منطقه تفسیر می‌شود؛ که می‌تواند به عنوان منبع گرمای سامانه زمین‌گرمایی منطقه عمل کند؛ هرچند تغییرات با دامنه کوتاه‌تر میدان مغناطیسی در قسمت‌های شمالی منطقه را می‌توان به علت حضور حجم زیاد سنگ‌های فلزیک (گرانیت و گرانوویوریت) تفسیر کرد. بر این اساس با استفاده از روش اویلر، عمق و مکان تقریبی منشاء یا منشاء‌های بی‌هنجری عده در منطقه برآورد شد و سپس با استفاده از اطلاعات به دست آمده، مدل‌سازی پیشرو و وارون‌سازی سه‌بعدی داده‌ها انجام شد؛ تا موقعیت و شکل دقیق‌تر منشاء یا منشاء‌های بی‌هنجری‌های مغناطیسی منطقه برآورد شود.

1. Euler deconvolution

شكل بی‌هنجاری اصلی موجود در منطقه برآورد شد، دامنه عددی بین  $1/6$  تا  $1/9$  است که به طور میانگین شاخص ساختاری  $1/75$  به عنوان شاخص ساختاری میانگین در منطقه مورد بررسی انتخاب شد. با توجه به جدول ۱، این شاخص ساختاری تقریباً مربوط به یک جسم استوانه قائم (شبیه مخروط) می‌باشدند. با به نقشه درآوردن نقاط حل اویلر پس از اعمال پنجره‌سازی، بهترین مجموعه نقاط حل مربوط به روش اویلر با اندیس ساختاری  $1/75$  و اندازه پنجره  $400 \times 400$  تعیین شدند؛ که در شکل ۳، نقاط مذکور روی نقشه شدت میدان باقیمانده، تصویر شده و نتایج این تخمین عمق در نقاط مختلف نقشه با دوایر رنگی توپر مشخص شده‌اند. عمق بی‌هنجاری‌های مغناطیسی نیز در همین شکل در مناطق مختلف به تصویر کشیده شده است. با توجه به نمایش حل‌های اویلر بر روی نقشه مغناطیسی باقیمانده منطقه در شکل ۳، روش اویلر بر روی بی‌هنجاری عمدۀ منطقه مورد بررسی، اعماق متفاوتی را نشان می‌دهد؛ به طوریکه عمق سقف بی‌هنجاری اصلی منطقه در حدود  $1000$  تا بیشتر از  $3000$  متر قرار می‌دهد؛ اما از لحاظ آماری تعداد نقاط قرمز و سبز بسیار بیشتر از نقاط آبی می‌باشدند. بنابراین عمق تقریبی به دست آمده با استفاده از این روش را در حدود  $2000$  تا  $2500$  متر در نظر گرفته و از این اطلاعات جهت انجام مدل‌سازی پیشرو استفاده خواهد شد. همچنین همانطور که بیان شد با توجه به شاخص ساختاری به دست آمده از اعمال روش اویلر و با توجه به جدول شماره ۱، شکل تقریبی منشاء بی‌هنجاری مغناطیسی عمدۀ در منطقه مورد بررسی شبیه یک استوانه شبیه مخروطی است که عمق سقف آن در حدود  $2000$  تا  $2500$  متر از سطح زمین است.

روش خطی کمترین مربعات قابل حل است (Reid et al., 1990) (هندسه و شکل منشاء بی‌هنجاری مغناطیسی وابسته است و مقدار آن از  $0$  تا  $3$  (در مغناطیس) می‌باشد؛ به طوری که مقدار صفر مربوط به یک ساختار صفحه‌ای مانند مرز لایه‌های مختلف زمین‌شناسی، مقدار یک مربوط به دایک، مقدار  $2$  مربوط به استوانه و مقدار  $3$  به کره مغناطیسی مربوط می‌شود. Thompson (1982) مقادیر شاخص ساختاری مربوط به اجسام مختلف زمین‌شناسی را ارائه کرده است (جدول ۱). به منظور اعمال روش اویلر بر روی داده‌های منطقه Geosoft Oasis Montaj 6.4.2 استفاده شد. پس از آماده‌سازی نقشه میدان باقیمانده، نقشه‌های مشتقات میدان مغناطیسی در سه جهت ( $x, y, z$ ) که تهیه آن لازمه اجرای فرایند واهمامیخت اویلر است، تهیه شدند. همچنین برای اعمال فرآیند اویلر نیاز به اندیس ساختاری<sup>1</sup> و اندازه پنجره<sup>2</sup> حل اویلر است. برای دستیابی به پاسخ‌های مناسب، شاخص‌های ساختاری به صورت پیش‌فرض به مسئله داده می‌شود و شاخص ساختاری صحیح تر شاخصی در نظر گرفته می‌شود که اولاً بیشترین خوشبندی را در پاسخ‌ها داشته باشد، یعنی پاسخ‌های با عمق یکسان مجاور هم باشند و ثانیاً در مناطقی که از لحاظ آماری بی‌هنجاری وجود ندارد، تعداد نقاط حل اویلر کمینه باشد (Beiki, 2010). از آنجاکه هیچ دید مناسبی از اعماق زمین وجود ندارد برای رسیدن به اندیس ساختاری مناسب، باید اعداد مختلف اندیس ساختاری، مورد آزمایش قرار گیرند. در این مطالعه از مقدار  $0/5$  تا  $3$  با افزودن مقادیر  $1/0$  تخمین این اندیس استفاده شد. با توجه به مطالب مذکور، بهترین شاخص ساختاری که برای

1. Structural index

2. Window size

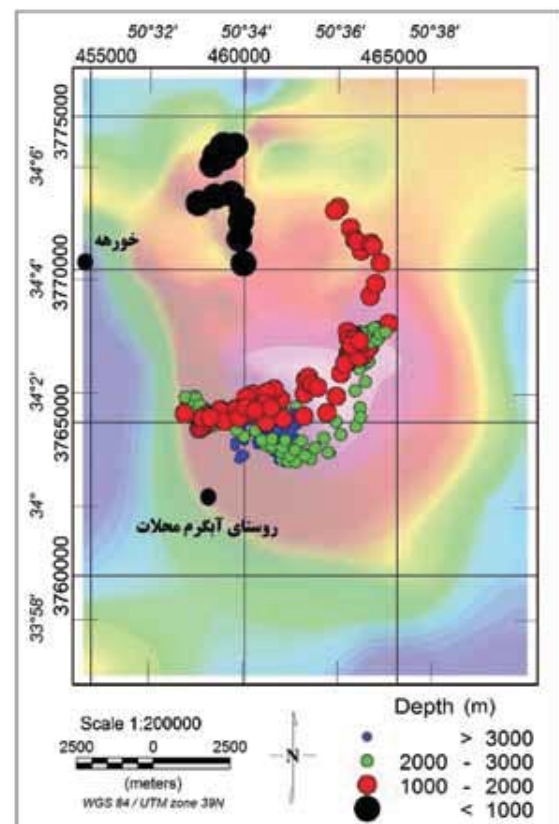
محمد محمدزاده مقدم و همکاران

و روش اویلر برآورد شد، مدل سازی سه بعدی منشاء میدان مغناطیسی (توده مغناطیسی مولد بی هنجاری) امکان پذیر است. این رویه در مورد داده های مغناطیسی برداشت شده در منطقه زمین گرمایی دلیجان انجام شد؛ تا موقعیت و شکل هندسی دقیق تر توده منشاء بی هنجاری عمله میدان مغناطیسی زمین مشخص شود. به منظور تولید این مدل سه بعدی، از نرم افزار ModelVision استفاده شد. شکل ۴ نتایج این مدل سازی را نشان می دهد.

بر این اساس دیده می شود که میدان بی هنجاری ایجاد شده توسط اجسام مصنوعی شباهت بسیار زیادی با میدان مغناطیسی مشاهده شده دارد. مقدار خطای عدم برازش این دو شبکه بندی کمینه شده است. یکی از پارامترهای مهم جهت انجام این مدل سازی پیش رو، برآورد صحیح خودپذیری مغناطیسی توده مولد بی هنجاری است. برای این منظور از جدول خودپذیری سنگ ها و کانی ها ارائه شده توسط Telford et al. (1990) و همچنین بررسی نتایج مدل استفاده شد. در این مدل سازی با استفاده از اطلاعات زمین شناسی منطقه مورد بررسی فرض شد که یک توده آذرین مافیک با خودپذیری در حد گستره ۰/۰۳ تا ۰/۰۶ در واحد SI مولد بی هنجاری مغناطیسی در منطقه مورد بررسی است؛ در هر بار مدل سازی، یک مقدار خودپذیری در این بازه انتخاب می شد و سپس پاسخ میدان مغناطیسی مدل ساخته شده با پاسخ میدان مغناطیسی مشاهده شده منطقه مقایسه می شد؛ در نهایت پس از انجام چندین بار تکرار مدل سازی، مشاهده شد که انتخاب مقدار خودپذیری ۰/۰۵ سبب ایجاد بیشترین انطباق بین پاسخ مدل و پاسخ واقعی می شود (شکل ۴). در این مدل سازی مقدار این خودپذیری در کل توده ها یکسان در نظر گرفته شد.

جدول ۱. مقادیر شاخص ساختماری (بدون واحد) برای اشکال مختلف زمین شناسی (Thompson, 1982)

اندیس ساختاری	شکل ساختار
.	همبری
-۵/۰	همبری
۰/۵	پله (فروافتادگی) ضخیم
۱	دایک
۲-۲۵/۲	استوانه قائم
۲/۵	استوانه با امتداد نامشخص
۲-۲/۷۵	استوانه افقی
۳	کره



شکل ۳. نقشه شدت میدان باقیمانده به همراه نقاط تخمین عمق اویلر. (به منظور نمایش بهتر نقاط حل اویلر، نقشه میدان مغناطیسی، کمرنگ تر نمایش داده شده است)

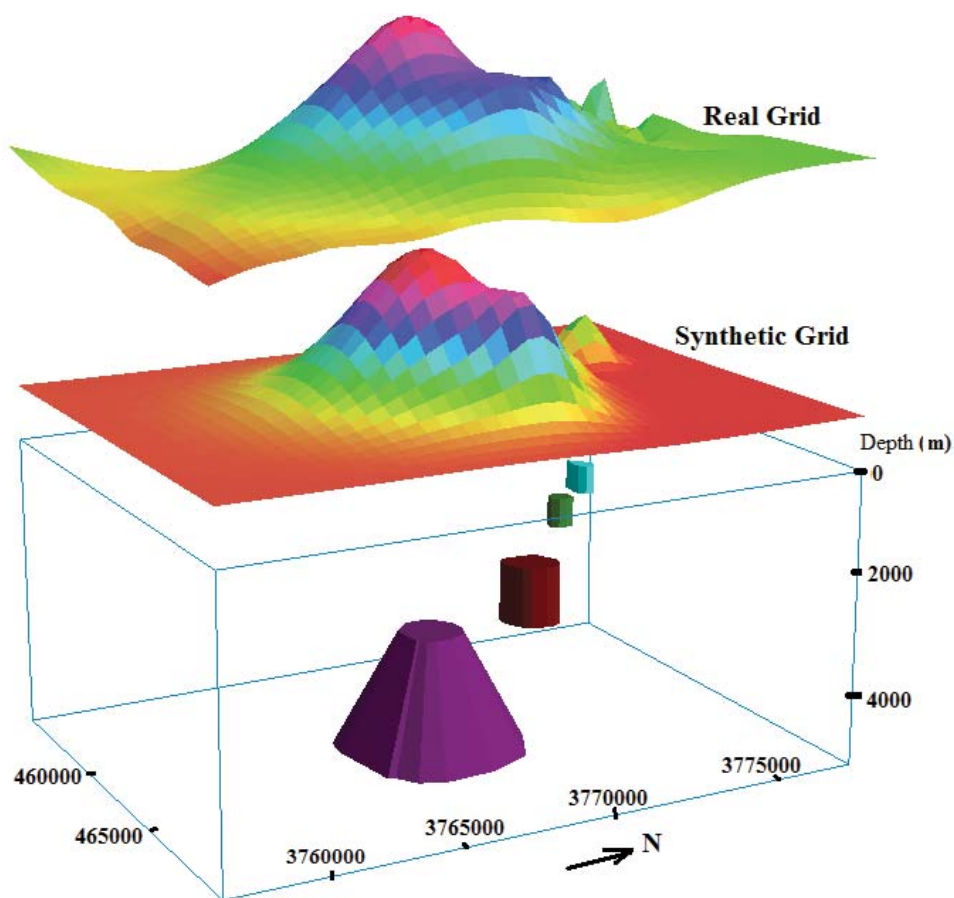
## مدل سازی پیشرو<sup>۱</sup>

هنگامی که موقعیت تقریبی و عمق منشاء میدان مغناطیسی با استفاده از تحلیل نقشه میدان باقیمانده

1. Forward modeling

سنگ‌های رسوبی دارای خودپذیری مغناطیسی بسیار بالاتری هستند (Telford et al., 1990). همچنین سنگ‌های آذرین اسیدی نسبت به سنگ‌های آذرین مافیک از خودپذیری مغناطیسی بسیار کمتری برخوردارند و بنابراین در نقشه‌های میدان مغناطیسی بی‌هنجراری بسیار ضعیف ایجاد می‌کنند. با توجه به نقشه زمین‌شناسی (شکل ۱)، سنگ‌های آذرین گرانودیوریت و دیوریت در بخش زیادی از شمال منطقه رخنمون دارند که به نظر می‌رسد این سنگ‌ها سبب ایجاد بی‌هنجراری‌های مغناطیسی ضعیف در شمال نقشه شده است.

براساس نتایج شکل ۴، عامل اصلی مولد بی‌هنجراری مغناطیسی، یک توده شبه‌محروطی در اعماق حدود ۳ تا ۵ کیلومتری از سطح زمین است (جسم بنفش‌رنگ در شکل ۴) که با توجه به خودپذیری مغناطیسی سنگ‌ها و کانی‌ها، این توده دارای ترکیب سنگ‌های آذرین مافیک می‌باشد. اجسام کوچکتری که در قسمت شمال توده اصلی در بلوك مدل شکل ۴ مشاهده می‌شود، احتمالاً مربوط به دایک‌ها و یا توده‌های آذرین نفوذی کوچک در سنگ‌های رسوبی شمال منطقه مورد بررسی است. به طور کلی سنگ‌های آذرین نسبت به



شکل ۴. مدل مصنوعی تولید شده برای بی‌هنجراری‌های مغناطیسی در منطقه مورد بررسی. خودپذیری مغناطیسی این اجسام در حد ۰/۰۵ در واحد SI (سنگ‌های آذرین مافیک) در نظر گرفته شده است

استفاده شد.

الگوریتم عرضه شده از سوی لی- اولدنبورگ از رابطه ۲ آغاز می شود:

$$d = Gk \quad (2)$$

که  $d$  مربوط به داده های واقعی،  $G$  ماتریس حساسیت و  $k$  خودپذیری مغناطیسی سنگ ها در یک بلوک متعامد و شبکه بندی شده به منظور انجام وارون سازی است. مسئله برگردان به منزله یک مسئله بهینه سازی، فرمول بندی می شود؛ که یکتابع هدف از مدل، با توجه به محدودیت های معادله کمینه می شود؛ تا داده ها، با یک خطای قابل قبول باز تولید شود. فرض کنید تابع هدف به صورت زیر باشد:

$$\begin{aligned} \mathcal{Q}_m(m) = & \alpha_s \int_v w_s \{w(r)(m(r) - m_0)\}^2 dv \\ & + \alpha_x \int_v w_x [\partial w / \partial x][m(r) - m_0]^2 dv \\ & + \alpha_y \int_v w_y [\partial w / \partial x][m(r) - m_0]^2 dv \\ & + \alpha_z \int_v w_z [\partial w / \partial z][m(r) - m_0]^2 dv, \end{aligned} \quad (3)$$

که در آن  $m(r)$  مربوط به داده های واقعی و  $m_0$  مربوط داده های مدل هستند. همچنین توابع  $w_x$ ,  $w_y$ ,  $w_z$  و  $w_s$  مستقل های فضایی هستند در حالیکه ضرائب  $\alpha_s$ ,  $\alpha_x$ ,  $\alpha_y$  و  $\alpha_z$  بر درجه اهمیت نسبی متفاوت مولفه ها در تابع هدف تأثیر می گذارند. در این فرمول تابع یک تابع تعییم یافته وزندهی عمقی است. هدف این تابع خنثی کردن میرایی هندسی خودپذیری مغناطیسی با فاصله از یک مکان مشاهده است؛ به طوری که این خودپذیری مغناطیسی به دست آمده در نزدیکی ایستگاه های اندازه گیری مرکز نشود.

مقدار عدم برازش بین داده های مشاهده شده و داده های محاسبه شده با استفاده از رابطه ۴ به دست می آید:

$$\mathcal{Q}d = w_d Gk - d_{obs}^2 \quad (4)$$

## وارون سازی سه بعدی<sup>۱</sup>

به منظور بررسی سه بعدی ویژگی های زمین شناختی سامانه زمین گرمایی دلیجان، علاوه بر مدل سازی Li پیشرو، برگردان سه بعدی داده ها توسط الگوریتم Mag3D and Oldenburg, (1996) انجام شد. استفاده از این الگوریتم جهت انجام وارون سازی داده های مغناطیسی در مناطق مختلف دنیا نتایج بسیار سودمندی را ارائه داده است (به عنوان Loura and Mantovani, 2012; Riberio et al., 2013; Oldenburg and Pratt, 2007; Kalate and Kahoo, 2013). در رویکرد برگردان عرضه شده از سوی Li and Oldenburg (1996) ابتدا در مورد متغیری که تفسیر براساس آن صورت خواهد گرفت، تصمیم گیری می شود که تابعی از خودپذیری مغناطیسی مورد جستجو می باشد. سپس یکتابع هدف چند مؤلفه ای که دارای انعطاف پذیری کافی برای تولید انواع مدل باشد، ساخته می شود. این تابع هدف، ناهمواری ها را در سه جهت فضایی جبران می کند و یک وزندهی سه بعدی براساس توزیع خودپذیری مغناطیسی با عمق دارد. تابع های کمکی وزندهی سه بعدی در تابع هدف را می توان در ترکیب کردن اطلاعات بیشتر درباره مدل به کار برد. چنین اطلاعاتی ممکن است از کاوش های دیگر ژئوفیزیکی، داده های زمین شناسی و یا درک کمی و کیفی مفسر از ساختار زمین شناسی و ارتباط آن با خودپذیری مغناطیسی سنگ ها باشد. راه حل عددی برای برگردان، از راه تقسیم زمین به تعداد زیادی سلول، تحقق یافته است؛ تا اجسام زمین شناسی پیچیده به طور نسبی ساخته شوند. حدسهای اولیه در مورد هدف مورد بررسی از جمله خودپذیری مغناطیسی، موقعیت و شکل آن جهت انجام این وارون سازی، ما را در رسیدن به یک مدل واقعی تر هدایت می کنند. بنابراین به منظور وارون سازی دقیق داده ها از نتایج به دست آمده از روش های قبل

1. 3D inversion

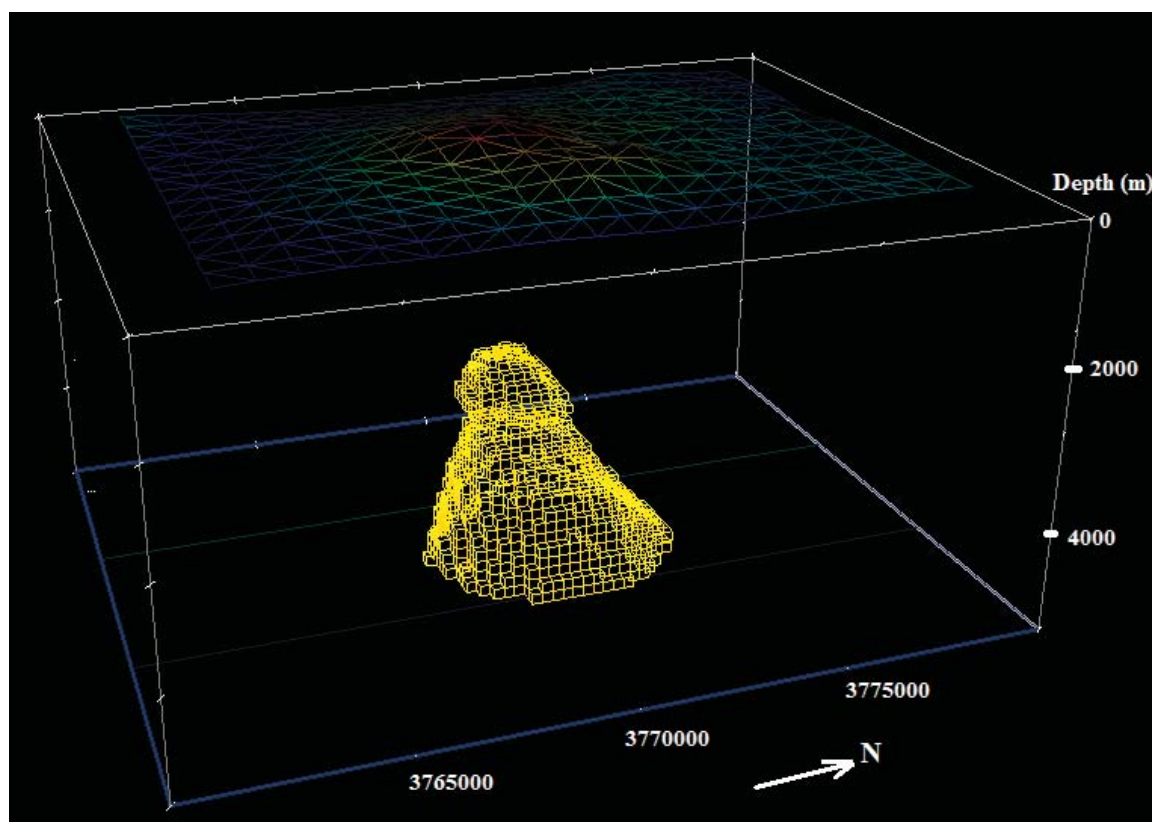
تباین خودپذیری مغناطیسی بیشتر از ۰/۰۵ در واحد SI به عنوان نماینده سنگ‌های آذرین مافیک در منطقه مورد بررسی در نظر گرفته شده و در شکل ۵ به نمایش درآمده است. با مقایسه نتایج این مدل‌سازی با نتایج مدل‌سازی پیشرو، به نظر می‌رسد اجسام کوچک‌تری که در شمال منطقه در شکل ۴ مشاهده شدند، نمی‌توانند بی‌亨جارت قابل ملاحظه‌ای را ایجاد کنند بنابراین در مدل به دست آمده از الگوریتم Li and Oldenburg (1996) مشاهده نمی‌شوند (شکل ۵). اما موقعیت و عمق توده اصلی منطقه در هر دو مدل انتطاب مناسبی با هم دارند. بنابراین منبع سامانه زمین‌گرمایی دلیجان مربوط به این توده بزرگ می‌باشد. با توجه به نتایج وارون‌سازی لی-اولدنبورگ، عمق به دست آمده برای این توده از ۲/۵ تا ۵ کیلومتری از سطح زمین می‌باشد (شکل ۵).

که در آن  $w_d$  به عنوان یک ماتریس قطری است که عنصر  $a_{nm}$  آن، انحراف استاندارد  $\sigma_{\text{mod}}$  داده،  $d_{\text{mod}}$  چگالی محاسبه شده و  $d_{\text{obs}}$  چگالی برداشت شده است. هدف از این معادله وارون (رابطه ۴)، کمینه کردن اختلاف بین تابع هدف و خطای برآش داده‌ها است (رابطه ۵):

$$\mathcal{O} = \mathcal{O}_d + \mu \mathcal{O}_m, \quad \text{رابطه (۵)}$$

که در آن  $\mu$  پارامتر تنظیم‌کننده است. جزئیات Li and Oldenburg (1996) موجود است.

شکل ۵ نتایج مدل‌سازی داده‌ها با استفاده از این الگوریتم را تا عمق ۵ کیلومتری از سطح زمین نشان می‌دهد. با استفاده از نتایج مدل‌سازی پیشرو و همچنین خودپذیری مغناطیسی سنگ‌ها و کانی‌ها،



شکل ۵. نمایش مدل سه‌بعدی سنگ‌های با تباین خودپذیری مغناطیسی بیشتر از ۰/۰۵ در واحد SI در منطقه زمین‌گرمایی دلیجان تا عمق پنج کیلومتری از سطح زمین، با استفاده از (Li and Oldenburg 1996)

- نخستین کنفرانس سراسری آب‌های زیرزمینی، دانشگاه آزاد اسلامی واحد بهبهان.
- میرزایی، م.، محمدزاده مقدم، م.، اسکویی، ب.، قدیمی، ف. و جزایری، س.، ۱۳۹۲. پردازش و تفسیر داده‌های مغناطیس زمینی مرتبط با منابع زمین‌گرمایی با استفاده از دو روش اویلر و AN-EUL. M. فیزیک زمین فضا، ۴، ۳۹، ۸۳-۹۶.
  - مجلل، م. و افتخارنژاد، ج.، ۱۳۷۱. نقشه زمین‌شناسی قم و گلپایگان مقیاس ۱/۲۵۰۰۰۰. انتشارات سازمان زمین‌شناسی و اکتشافات معدنی کشور.
  - نور علیئی، ج.، ۱۳۹۱. گزارش زمین‌شناسی و تکتونیک منطقه زمین‌گرمایی محلات. پژوهشگاه نیرو.
  - نور علیئی، ج. و زارعی، ح.، ۱۳۸۹. گزارش مطالعات زمین‌شناسی در منطقه زمین‌گرمایی محلات. پژوهشگاه نیرو. ۱۰۹.
  - نور علیئی، ج. و ابراهیمی، ح.، ۱۳۹۱. گزارش مطالعات ژئوشیمیایی در منطقه زمین‌گرمایی محلات. پژوهشگاه نیرو. ۸۳.
  - Baranov, V., 1957. A new method for interpretation of aeromagnetic maps: pseudo-gravitational anomalies. Geophysics, 22, 359-383.
  - Baranov, V. and Naudy, H., 1964. Numerical calculation of the formula of reduction to the magnetic pole. Geophysics, 29, 67-79.
  - Beiki, M., 2010. Analytic signals of gravity gradient tensor and their application to estimate source location. Geophysics, 75, 6, 159-174.
  - Bhattacharyya, B.K., 1965. Two dimensional harmonic analysis as a tool for magnetic interpretation. Geophysics, 30, 829-857
  - Kalateh A.N. and Kahoo, A.R., 2013. Estimation of 3D density distribution of chromite deposits using gravity data. Journal of Mining and Environment, 4, 97-104.
  - Li, Y. and Oldenburg, D.W., 1996.

## نتیجه‌گیری

در این پژوهش داده‌های مغناطیس مربوط به یکی از مناطق زمین‌گرمایی مهم در ایران واقع در شمال غرب شهر دلیجان مورد تحلیل و تفسیر قرار گرفت. هدف اصلی از این پژوهش، شناسایی منبع (های) زمین‌گرمایی در منطقه مورد بررسی به منظور هدف‌گذاری چاههای اکتشافی می‌باشد. نقشه میدان مغناطیسی باقیمانده نشان‌دهنده وجود یک بی‌هنجری بزرگ عمدۀ در منطقه است؛ که در سطح زمین هیچ رخنمون قابل توجهی مربوط به آن مشاهده نمی‌شود. به‌نظر می‌رسد این بی‌هنجری مربوط به سنگ‌های آذرینی است که در اعماق منطقه در سنگ‌های رسوبی نفوذ کرده و سبب ایجاد این بی‌هنجری مغناطیسی شده است. با توجه به شواهد زمین‌شناسی به‌نظر می‌رسد که این توده‌پس از نفوذ در منطقه به مرور زمان گرمای خود را از دست داده و دمای آن از نقطه کوری عبور کرده است و سبب ایجاد این بی‌هنجری مغناطیسی عمدۀ در منطقه شده است. این بی‌هنجری عمدۀ به عنوان منبع سامانه زمین‌گرمایی دلیجان در نظر گرفته شد و بنابراین به‌منظور شناسایی دقیق آن، از روش اویلر استفاده شد تا موقعیت افقی و عمق آن برآورد شود. سپس با استفاده از نتایج اولیه به‌دست آمده از روش اویلر، امکان مدل‌سازی پیشرو و وارون‌سازی سه‌بعدی داده‌ها توسط الگوریتم لی و اولدنبورگ فراهم شد. نتایج وارون‌سازی داده‌ها نشان می‌دهد که منبع سامانه زمین‌گرمایی در مرکز منطقه مورد بررسی و در عمق بین ۲۵۰۰ تا ۵۰۰۰ متری قرار دارد. نشانه‌های سطحی انرژی زمین‌گرمایی شامل موقعیت چشمه‌های آبرگم دلیجان و محدوده‌های دگرسان شده مرتبط با سیالات گرمایی، نتایج به‌دست آمده از روش مغناطیس سنجی را تایید می‌کند.

## منابع

- رضایی، م.، قربانی، ص. و بومری، م.، ۱۳۸۸. هیدرژئولوژی و ژئوترمومتری چشمه‌های آبرگم محلات،

- 3-D inversion of magnetic data. *Geophysics*, 61, 394–408.
- Louro, V.H.A. and Mantovani, M.S.M., 2012. 3D inversion and modeling of magnetic and gravimetric data characterizing the geophysical anomaly source in Pratinha I in the southeast of Brazil. *Journal of Applied Geophysics* 80, 110–120.
  - Oldenburg, D.W. and Pratt, D.A., 2007. Geophysical inversion for mineral exploration – A decade of progress in theory and practice, in B. Milkereit, ed., *Proceedings of Exploration 07: Fifth Decennial International Conference on Mineral Exploration*, 61–95.
  - Oskooi B, Darijani M, and Mirzaie M., 2013. Investigation of electrical resistivity and geological structure on the hot springs in Markazi province of Iran using magnetotelluric method. *Bollettino di Geofisica ed Applicata*, 54, 245–256.
  - Oskooi, B. and Darijani, M., 2013. 2D inversion of magnetotelluric data from Mahallat geothermal field in Iran using finite element approach, *Arabian Journal of Geosciences*, 35, 122–134.
  - Porkhial, S., Nouraliee, J., Rahmani, M. and Ebrahimi, D., 2013. Resource assessment of Vartun geothermal region, central Iran, *Journal of Tethys*, 1, 29–40.
  - Reid, A.B., Allsop, J.M., Granser, H., Millet, A.J. and Somerton, I.W., 1990. Magnetic interpretation in three dimensions using Euler deconvolution. *Geophysics*, 55, 80–91
  - Riberio, V.B., Louro, V.H. and Montovani, M.S., 2013. 3D Inversion of magnetic data of grouped anomalies Study applied to São José intrusions in Mato Grosso, Brazil. *Journal of Applied Geophysics* 93, 67–76.
  - Telford, W.M., Geldart, L.P. and Sheriff R.E., 1990. *Applied Geophysics*. Cambridge University Press. 358.
  - Thompson, D.T., 1982. EULDPh: A new technique for making computer-assisted depth estimates from magnetic data. *Geophysics*, 47, 31–37.